

**О ЗАТУХАНИИ В ТВЕРДОМ ТЕЛЕ ПЛОСКИХ УДАРНЫХ ВОЛН,
ВЫЗВАННЫХ ВЗРЫВОМ**

В. Н. Кондратьев, И. В. Немчинов, Б. Д. Христофоров

(Москва)

Приведен гидродинамический расчет задачи о затухании плоской ударной волны в твердом теле, при взрыве слоя взрывчатого вещества (ВВ) на его поверхности, выполненный в квазиакустическом приближении. Результаты расчета сравниваются с экспериментальными данными, полученными в алюминии и латуни при взрыве зарядов из сплава тротила с гексогеном (ТГ-50/50). Измерения проводились электроконтактным и емкостным методами на различных расстояниях от заряда, причем, максимальное расстояние равнялось десяти толщинам заряда.

1. В ряде инженерных приложений, в которых используется действие взрыва, а также при исследовании поведения вещества под действием высокого давления необходимо знание параметров ударной волны. Из теории пластичности следует, что разгрузка предварительно сжатого материала проходит последовательно через упругую и пластическую стадии. Эксперимент [1] показывает, что такая же последовательность процессов наблюдается при дугоне ударного фронта волнами разгрузки, приходящими сзади. При этом первая волна разрежения движется со скоростью упругого расширения, соответствующей давлению за фронтом, и амплитудой, примерно, равной установленной величине динамического предела текучести.

Ранее гидродинамические расчеты [2,3] затухания взрывных волн в твердых телах были проведены в предположении постоянства энтропии во всей области течения, включая и ударный фронт. В этом случае решение будет простой волной с прямыми C_+ -характеристиками. В качестве изэнтропического уравнения состояния в работе [3] было использовано уравнение Мурнагана, а в работе [2] предполагалось, что риманов инвариант имеет такой же вид, как и в газе, а связь давления и скорости звука дается политропическим законом. Однако такого типа уравнения состояния не во всем диапазоне исследуемых давлений достаточно точно согласуются с ударной адабатой.

Обычно экспериментальные данные по ударной сжимаемости описывают линейной зависимостью между волновой N и массовой u и скоростями ударной волны

$$N = \alpha + \beta u \quad (1.1)$$

Отсюда

$$p = \rho_0 N u = \rho_0 u (\alpha + \beta u) \quad (1.2)$$

Здесь p — давление, ρ_0 — начальная плотность вещества.

При решении задачи предполагалось, что (1.2) выполняется не только на фронте волны, но и за ним. Такое предположение, приводящее к прямолинейности характеристик в лагранжевых координатах, будет точным для уравнения состояния специального вида. Сравнение параметров вещества после разгрузки по этому специальному уравнению состояния и по уравнениям состояния, описывающим поведение реальных твердых тел [4,6], позволяет оценить верхний предел применимости квазиакустического расчета в области высоких давлений. Показано, что так же, как и в газах [7], погрешность такого расчета составляет несколько процентов вплоть до давлений $p \approx 1.5\rho_0\alpha^2$.

2. Решение задачи о затухании плоской ударной волны, вызванной взрывом слоя ВВ на поверхности твердого тела, проводилось в квазиакустическом приближении [7].

Уравнение состояния продуктов взрыва было выбрано в виде

$$p = A \rho^3 \quad (2.1)$$

где константа A определялась из условий Чепмена — Жуге на детонационном фронте. Приращение энтропии на фронте детонационной волны, отраженной от границы ВВ — среды, не учитывалось.

Вещество рассматривалось как идеальная жидкость, в которой вязкостью, теплопроводностью и жесткостью можно пренебречь. При ударном нагружении такое предположение вполне удовлетворительно при давлениях, значительно превосходящих предел текучести материала. Однако погрешности от введения такого предположения в области разгрузки заранее оценить трудно. Если ввести предположение о постоянстве энтропии среды, включая и ударный переход, то это равносильно пренебрежению в решении членами $\sim(u/\alpha)^3$. Справедливость этого предположения для небольших сжатий показана в работе [7]. При сделанных предположениях решение будет простой волной с прямыми C_+ -характеристиками. При решении задачи предполагалось, что давление связано со скоростью вещества во всей области движения таким же соотношением (1.2), как и на фронте. В этом случае, не используя предположения об изэнтропичности, можно получить решение с прямыми C_+ -характеристиками в лагранжевых координатах.

Запишем уравнение движения в лагранжевых координатах

$$\frac{\partial u}{\partial t} + \frac{\partial p}{\partial m} = 0 \quad (2.2)$$

При помощи (1.2) получим уравнение

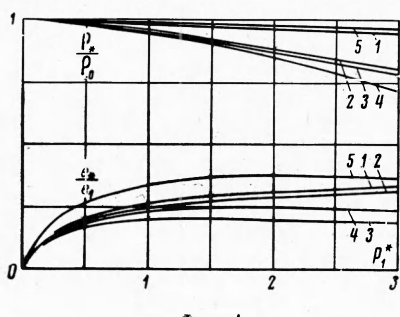
$$\frac{\partial u}{\partial t} + f(u) \frac{\partial u}{\partial m} = 0 \quad (2.3)$$

которое имеет решения $u = \text{const}$, $p = \text{const}$ вдоль прямых с наклоном

$$\frac{dm}{dt} = f(u) = \frac{dp}{du} = p_0(\alpha + 2\beta u) \quad (2.4)$$

Условие (1.2) с точностью до членов порядка $(u/\alpha)^3$ совпадает с инвариантом Римана. Более точной оценки погрешности квазиакустического приближения нельзя дать без сравнения используемой зависимости $p(u)$ с инвариантом Римана, построенным при помощи конкретных уравнений состояния.

Существует уравнение состояния специального вида, в котором условие (1.2), приводящее к прямолинейности характеристик в лагранжевых координатах, выполняется точно. Подставляя (2.4) в уравнения неразрывности и энергии, получим



Фиг. 1

$$\frac{\partial V}{\partial t} = -\frac{1}{f(u)} \frac{\partial u}{\partial t}, \quad \frac{\partial e}{\partial t} = \frac{p(u)}{f(u)} \frac{\partial u}{\partial t} \quad (2.5)$$

В (2.5) входят лишь производные по времени t , поэтому, интегрируя (2.5) в фиксированной точке m , найдем зависимость между давлением p , удельным объемом V и удельной внутренней энергией e

$$p = p_0 u (\alpha + \beta u) \\ V = V_0 \left[\frac{\alpha + (\beta - 1) u_1}{\alpha + \beta u_1} + \frac{1}{2\beta} \ln \frac{\alpha + 2\beta u_1}{\alpha + 2\beta u} \right] \quad (2.6) \\ e = \frac{u^2 + u_1^2}{4} + \frac{\alpha}{4\beta} (u - u_1) - \frac{\alpha^2}{8\beta^2} \ln \frac{\alpha + 2\beta u_1}{\alpha + 2\beta u}$$

В уравнениях (2.6) массовая скорость u в волне разрежения играет роль параметра, а ее значение u_1 в момент прохождения фронта через фиксированную точку m — роль энтропийной функции.

Сравним поведение кривых разгрузки из точек, лежащих на ударной адиабате для уравнения состояния (2.6) с другими уравнениями состояния [4-6]. При помощи этих уравнений состояния на фиг. 1 построены зависимости плотности ρ_* и удельной энергии e_* в конечном состоянии после разгрузки, отнесенные к ρ_0 и удельной энергии на фронте e_1 , от безразмерного давления на фронте $p_1^* = p_1 / \rho_0 \alpha^2$, причем кривые 1, ..., 5 соответствуют уравнениям состояния (2.6), [4] при $\gamma = 3$, [4] при $\gamma = 2$, [5] и [6].

Заметим, что при расчетах разгрузки по этим уравнениям состояния не учитывалось расслоение вещества на фазы, что верно для малых времен разгрузки, при которых вещество, попадая в область, где возможно такое расслоение, находится в метастабильном состоянии.

Для всех использованных уравнений состояния наблюдается совпадение (с точностью до нескольких процентов) кривых разгрузки вплоть до давлений $p_1^* \approx 1.5$. Отсюда можно сделать вывод, что условие (1.2) выполняется с такой же точностью вплоть до этих давлений. Это определяет верхний предел применимости квазиакустического расчета.

3. Пусть в момент $t = 0$ на свободной поверхности заряда в точке $x = 0$ возбуждается детонационная волна. Во всей области течения слева от границы раздела ВВ — среда при сделанных предположениях поток описывается центрированной простой волной с прямыми C_+ -характеристиками

$$x = (u + c)t = wt \quad (3.1)$$

где c — скорость звука. Чтобы получить траекторию границы раздела сред, где $dx/dt = u$, продифференцируем вдоль нее (3.1) по w , тогда

$$\frac{dx}{dw} = t + w \frac{dt}{dw} = \frac{x}{w} + \frac{w}{u} \frac{dx}{dw}, \quad (3.2)$$

Отсюда

$$\frac{dx}{x} = \frac{u dw}{w(u-w)} \quad (3.3)$$

Для нахождения функции w (в) воспользуемся (2.1)

$$w = u + c = u + (p/A)^{1/3} (3A)^{1/2} \quad (3.4)$$

Из равенства давлений по обе стороны от границы ВВ — среда следует

$$p = \rho_0 u (\alpha + \beta u) \quad (3.5)$$

Подставляя (3.5) в (3.4) получим

$$w = u + \sqrt[3]{3A}^{1/2} [\rho_0 u (\alpha + \beta u)]^{1/3}$$

Определяя A из условия на детонационном фронте, где $w = D$, имеем

$$w = u + b [\alpha u (\alpha + \beta u)]^{1/3}, \quad b = \frac{27}{16} \frac{D}{\alpha} \frac{\rho_0}{\rho_{00}} \quad (3.6)$$

Здесь D — скорость детонации, ρ_{00} — начальная плотность ВВ. Отсюда

$$dw = \{1 + \frac{1}{3} b\alpha (\alpha + 2\beta u)\} [\alpha u (\alpha + \beta u)]^{-2/3} du \quad (3.7)$$

Подстановка (3.6) и (3.7) в (3.3) дает

$$\frac{dx}{x} = - \frac{[\alpha u (\alpha + \beta u)]^{2/3} + 1/3 b\alpha (\alpha + 2\beta u)}{b\alpha (\alpha + \beta u) \{u + b [\alpha u (\alpha + \beta u)]^{1/3}\}} du = - g(u) du \quad x = \Delta \exp \left(\int_u^{u_0} g(u) du \right)$$

где Δ — толщина заряда. При $x = \Delta$, $u = u_0$. При помощи (3.1) для каждой точки x границы раздела определяется соответствующее значение времени t . Таким образом, формулы (3.8) и (3.4) определяют траекторию и параметры твердого тела на границе с ВВ до решения задачи о движении в твердом теле.

4. Определим затухание ударной волны в твердом теле при заданной зависимости $u(t)$ на его границе. Используя условие (1.2) во всей области течения, получим в массовых координатах решение с прямыми C_+ -характеристиками, по которым значения массовой скорости на границе «переносятся» на ударный фронт, определяя его параметры. Пусть координата $m = 0$ соответствует границе раздела ВВ — среда, $t = 0$ — началу движения этой границы. Координаты фронта обозначим M , T .

Тогда уравнение фронта и C_+ -характеристик запишется в виде

$$\frac{dM}{dT} = \rho_0 N, \quad M = f(t)(T-t) = \frac{dp}{du}(T-t) \quad (4.1)$$

где t — время выхода C_+ -характеристики с границы раздела. Дифференцируя (4.1) по t , последовательно получим

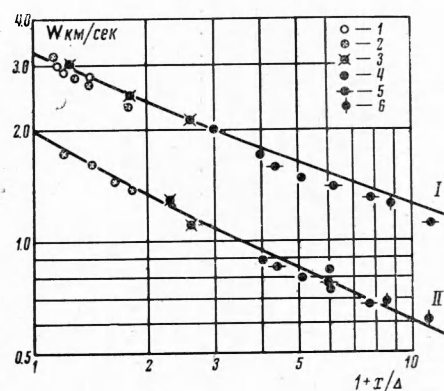
$$\frac{dM}{dt} = \rho_0 N \frac{dT}{dt} = f'(t)(T-t) + f(t) \left(\frac{dT}{dt} - 1 \right), \quad \frac{dT}{dt} = \frac{f''T}{\rho_0 N - f} + \frac{f't + f}{f - \rho_0 N}$$

Интегрируя последнее уравнение при помощи (1.2), получим следующие формулы

$$T = t + \frac{1}{\rho_0 \beta u^2} \int_0^t p dt, \quad (I(u) = \int_0^t p dt) \quad (4.3)$$

$$M = \rho_0 X = \frac{dp}{du}(T-t) = \frac{\alpha + 2\beta u}{\beta u^2} \int_0^t p dt = \\ = \frac{\alpha + 2\beta u}{\beta u^2} \int_0^t \rho_0 u (\alpha + \beta u) dt = \frac{\alpha + 2\beta u}{\beta u^2} I(u) \quad (4.4)$$

Здесь X — эйлерова координата фронта, $I(u)$ — импульс давления на границе раздела к моменту времени t , когда ее скорость была равна u . Уравнения (4.3), (4.4) определяют координаты фронта M и T в зависимости от массовой скорости u на ударном фронте, которая равна скорости движения границы раздела сред в момент t .



Фиг. 2

Когда величина u мала по сравнению со скоростью звука α , из (4.4) получим

$$u = \left[\frac{I(u)\alpha}{\beta M} \right]^{1/2} \quad (4.5)$$

Для больших расстояний $I(u) \rightarrow I_0$, где I_0 — полный импульс, переданный ВВ веществу.

По формулам (3.8), (4.3), (4.4) были проведены расчеты затухания ударной волны в алюминии и латуни при взрыве заряда из сплава тротила с гексогеном (ТГ-50/50) на поверхности металлов. По данным работ [8,9], ударные адиабаты для этих металлов

$$N = 5.35 + 1.35 u \text{ (алюминий)} \quad N = 3.76 + 1.43 u \text{ (латунь)}$$

Вместо реальных параметров детонационной волны: $\rho_{00} = 1.68 \text{ г/см}^3$, $\gamma = 2.8$, $D = 7.65 \text{ км/сек}$, $p = 266 \text{ кбар}$, $u = 2.07 \text{ км/сек}$, были использованы следующие: $\rho_{00} = 1.68 \text{ г/см}^3$, $\gamma = 3$, $D = 7.95 \text{ км/сек}$, $u = 1.99 \text{ км/сек}$, $p = 266 \text{ кбар}$, которые, по данным работы [10], достаточно точно определяют течение за детонационным фронтом. Результаты расчета в виде зависимости удвоенной массовой скорости $W = 2u$ на фронте от приведенного расстояния X/Δ показаны на

X м.м.	Δ м.м.	W к.м/сек
-------------	------------------	----------------

Алюминий АД-1

3	12.5	3.05
3	25	3.14
7	50	2.98
7	25	2.72
10	50	2.85
10	25	2.63
10	12.5	2.44
20	50	2.74
20	25	2.30
20	12.5	2.11
10.1	5	2.04
10.1	3	1.55
15.1	5	1.70
15.3	3	1.39
15.1	2	1.23
20.5	5	1.42
20.5	3	1.30
20.3	2	1.07

Латунь Л-59

5.25	25	1.72
10.5	25	1.63
15.5	25	1.46
20	25	1.38
15.5	12.5	1.30
20	12.6	1.1
10	3	0.856
10	2	0.755
15	5	0.882
15	3	0.82
15	3	0.74
15	2	0.685
20.5	5	0.79
20	3	0.67
20	2	0.604

На фиг. 2; кривая I — алюминий, кривая II — латунь; там же нанесены экспериментальные данные, причем точкам 1, 2, 3, ..., 6 соответствуют значения $\Delta = 50, 25, 12, 5, 5, 3$ и 2 м.м. .

5. В опытах использовались образцы из алюминия АД-1 и латуни Л-59 диаметром 70 м.м и толщиной от 3 до 20 м.м и заряды ВВ диаметром 60 и толщиной от 2 до 50 м.м.

В качестве генераторов плоской ударной волны при взрыве зарядов толщиной от 12.5 до 50 м.м применялись взрывные линзы из ТГ-50/50 с наполнителем из барата. Влияние взрывной линзы на параметры фронта ударной волны в образцах толщиной меньше 20 м.м не было обнаружено. Возбуждение плоской детонационной волны в зарядах толщиной 2—5 м.м производилось ударом алюминиевых пластин толщиной 0.08 м.м, разогнанной до скорости 5.5 км/сек. В устройстве для разгона пластин основная масса ВВ, состоящая из взрывной линзы и заряда ТГ-50/50 толщиной 12.5 м.м, отделялась от разгонявшего пластины заряда из ТГ-50/50 толщиной 3 м.м латунным экраном толщиной 3 м.м. Введение экрана позволило отсечь продукты взрыва основной массы ВВ и уменьшить давление продуктов взрыва за ударником в момент соударения с ВВ до 40 кбар. Возбуждение детонации при ударе происходило за время, примерно равное 10^{-7} сек. Искривление и перекос ударного фронта в образцах при двух способах возбуждения детонации в зарядах не превышали 0.5 м.м на диаметре 50 м.м.

В опытах электроконтактным и емкостным методами непосредственно измерялась скорость W свободной поверхности образцов, которая полагалась равной удвоенной массовой скорости вещества на фронте. Сигнал от емкостного датчика регистрировался осциллографом ОК-17 м, входное сопротивление которого равнялось волновому сопротивлению кабеля; скорость свободной поверхности

$$W = \frac{Eh}{ERC} \left(1 - \int_0^t \frac{Wdt}{h} \right)^2$$

Здесь E — выходное напряжение датчика, E — э.д.с. источника питания, h и C — зазор и емкость измерительного конденсатора соответственно.

Регистрация сигналов при электроконтактных измерениях проводилась на двух осциллографах с точностью отсчета временных интервалов $\pm 5 \cdot 10^{-9}$ сек. При этом измерялась скорость пластин искусственного откола толщиной 0.1—0.5 м.м приклеенных к образцам. Оба метода позволили производить измерения с ошибкой, не превышающей $\pm 10\%$ в каждом опыте. Результаты измерений в виде средних из двух — пяти опытов приведены в таблице.

6. Сравнение результатов расчета с опытными данными (фиг. 2) показывает их удовлетворительное согласие. Несколько заниженные значения экспериментальных данных в алюминии $\sim(5-10\%)$ на больших расстояниях от заряда, возможно, связаны с действием упругой разгрузки. Однако погрешности расчета, связанные с упрощением вида уравнения состояния продуктов взрыва, не позволяют делать уверенные заключения по этому поводу. С необходимой для практических приложений точностью в исследованном диапазоне относительных давлений $0.09 \leq p/\rho_0 c^2 \leq 0.45$, значительно превосходящих динамический предел текучести σ исследованных металлов ($p \gg \leq 10\sigma$), гидродинамическое приближение пригодно не только для описания поведения вещества при ударном нагружении, но и в области разгрузки.

Поступила 26 IV 1967

ЛИТЕРАТУРА

- Альтшuler L. B. Применение ударных волн в физике высоких давлений. Успехи физ. наук, 1965, т. 85, № 2.
- Станюкович К. П. Неустановившиеся движения сплошной среды. М., Гостехиздат, 1955.
- Dugimend W. E. Explosive induced Shock waves. J. Appl. Phys., 1957, vol. 28, No. 12.
- Калмыкова А. А., Кондратьев В. Н., Немчинов И. В. О разлете мгновенно нагретого вещества и об определении его уравнения состояния по величине давления и импульса. ПМТФ, 1966, № 5.
- Корявов В. П. Приближенное уравнение состояния твердых тел. ПМТФ, 1964, № 3.
- Кузнецов Н. М. Уравнение состояния и теплоемкость воды в широком диапазоне термодинамических параметров. ПМТФ, 1961, № 1.
- Курант Р., Фридрих К. Сверхзвуковое течение и ударные волны. М., Изд-во иностр. лит., 1950.
- Katz S., Dorgan D., Cargan D. Equation of State from Oblique Shock Studies. J. Appl. Phys., 1959, vol. 30, No. 4.
- Динамические исследования твердых тел при высоких давлениях. М., «Мир», 1965.
- Зубарев В. Н. Движение продуктов взрыва за фронтом детонационной волны. ПМТФ, 1962, № 2.

НЕКОТОРЫЕ ЭКСПЕРИМЕНТАЛЬНЫЕ ДАННЫЕ О ПАРАМЕТРАХ ВОЛН НАПРЯЖЕНИЙ В ГРУНТАХ ПРИ ПОДЗЕМНОМ И КОНТАКТНОМ ВЗРЫВАХ

В. Д. Алексеенко, Г. В. Рыков

(Москва)

Сопоставляются экспериментальные данные о параметрах волн напряжений в песчаных и глинистых грунтах при взрывах тротиловых зарядов весом от 0.2 кг до 200 кг. 1. В работе [1] показано, что в окрестности оси симметрии при $\alpha \leq 30^\circ$ (угол α отсчитывается от оси симметрии) поле напряжений при контактном взрыве сохраняет качественные особенности центрально симметричного поля напряжений, возникающего при подземном взрыве, причем при контактном взрыве на возбуждение волн напряжений в грунте расходуется только некоторая часть энергии E_0 от полной энергии взрыва заряда ВВ E . Поэтому параметры волн при контактном взрыве в области, близкой к оси симметрии, могут быть вычислены по данным о параметрах волн при подземном взрыве, если в последних учесть долю энергии ВВ E_0 . Для проверки этих соображений был проведен ряд экспериментальных исследований параметров волн при контактном и подземном взрывах в одних и тех же грунтах — песчаных и глинистых. Методика этих исследований описана в [1-3]. Для определения максимальных радиальных напряжений σ_r^m , удельных импульсов I_r и времени действия τ при подземных взрывах были получены следующие эмпирические формулы:

$$\sigma_r^m(R) = K_1 R^{-\mu_1} \text{ кг/см}^2, \quad I_r^{\circ}(R) = K_2 R^{-\mu_2} \text{ кг}^{2/3} \text{ сек/см}^2, \quad \tau_r^{\circ}(R) = a + \eta R \text{ сек} / \text{кг}^{1/3}$$

$$R = r / r_0, \quad r_0 = 0.054 C^{1/3}, \quad I_r^{\circ} = I / C^{1/3}, \quad \tau^{\circ} = \tau / C^{1/3} \cdot 10^3$$

Здесь r — расстояние от центра взрыва в м; r_0 — радиус заряда в м; C — вес заряда ВВ в кг; I_r° и τ° — удельный импульс и полное время действия, отнесенные к масштабу явления; K_1 , K_2 , μ_1 , μ_2 , a , η — опытные коэффициенты, зависящие от свойств грунта.

	K_1	μ_1	K_2	μ_2	a	η	λ
(1)	$11.5 \cdot 10^3$	2.36	4.85	1.53	17.5	0.57	0.35
(2)	$42.6 \cdot 10^3$	2.81	—	—	—	—	0.33
(3)	$2.8 \cdot 10^6$	3.45	525	2.73	8.8	0.09	0.23